

Starkniederschlagshöhen und -spenden gemäß KOSTRA-DWD-2010R

Auswertungszeitraum von 1951 - 2010, Januar - Dezember

Rasterfeld: 33024

Zeile: 33

Spalte: 24

Seite: 1/2

| Dauerstufe D | Wiederkehrzeit T | | | | | | | | | | | | | | | | | | |
|--------------|------------------|------|------------|------|------------|------|------------|------|------------|------|------------|------|------------|------|------------|------|------------|------|------------|
| | 1 a | | 2 a | | 3 a | | 5 a | | 10 a | | 20 a | | 30 a | | 50 a | | 100 a | | |
| min | Std | mm | l / (s ha) | mm | l / (s ha) | mm | l / (s ha) | mm | l / (s ha) | mm | l / (s ha) | mm | l / (s ha) | mm | l / (s ha) | mm | l / (s ha) | mm | l / (s ha) |
| 5 | | 4,5 | 150,0 | 5,9 | 196,7 | 6,6 | 220,0 | 7,6 | 253,3 | 9,0 | 300,0 | 10,3 | 343,3 | 11,1 | 370,0 | 12,1 | 403,3 | 13,4 | 446,7 |
| 10 | | 7,4 | 123,3 | 9,3 | 155,0 | 10,4 | 173,3 | 11,8 | 196,7 | 13,7 | 228,3 | 15,6 | 260,0 | 16,8 | 280,0 | 18,2 | 303,3 | 20,1 | 335,0 |
| 15 | | 9,3 | 103,3 | 11,7 | 130,0 | 13,0 | 144,4 | 14,8 | 164,4 | 17,2 | 191,1 | 19,5 | 216,7 | 20,9 | 232,2 | 22,6 | 251,1 | 25,0 | 277,8 |
| 20 | | 10,7 | 89,2 | 13,5 | 112,5 | 15,1 | 125,8 | 17,1 | 142,5 | 19,8 | 165,0 | 22,6 | 188,3 | 24,2 | 201,7 | 26,2 | 218,3 | 28,9 | 240,8 |
| 30 | | 12,6 | 70,0 | 16,0 | 88,9 | 18,0 | 100,0 | 20,5 | 113,9 | 23,9 | 132,8 | 27,3 | 151,7 | 29,2 | 162,2 | 31,7 | 176,1 | 35,1 | 195,0 |
| 45 | | 14,4 | 53,3 | 18,5 | 68,5 | 21,0 | 77,8 | 24,0 | 88,9 | 28,2 | 104,4 | 32,4 | 120,0 | 34,8 | 128,9 | 37,9 | 140,4 | 42,1 | 155,9 |
| 60 | | 15,4 | 42,8 | 20,2 | 56,1 | 23,1 | 64,2 | 26,7 | 74,2 | 31,5 | 87,5 | 36,3 | 100,8 | 39,2 | 108,9 | 42,8 | 118,9 | 47,6 | 132,2 |
| 90 | | 16,7 | 30,9 | 21,7 | 40,2 | 24,7 | 45,7 | 28,4 | 52,6 | 33,4 | 61,9 | 38,4 | 71,1 | 41,3 | 76,5 | 45,0 | 83,3 | 50,1 | 92,8 |
| 120 | 2 | 17,7 | 24,6 | 22,8 | 31,7 | 25,8 | 35,8 | 29,6 | 41,1 | 34,8 | 48,3 | 39,9 | 55,4 | 43,0 | 59,7 | 46,8 | 65,0 | 51,9 | 72,1 |
| 180 | 3 | 19,1 | 17,7 | 24,5 | 22,7 | 27,6 | 25,6 | 31,6 | 29,3 | 36,9 | 34,2 | 42,2 | 39,1 | 45,4 | 42,0 | 49,3 | 45,6 | 54,6 | 50,6 |
| 240 | 4 | 20,3 | 14,1 | 25,7 | 17,8 | 29,0 | 20,1 | 33,0 | 22,9 | 38,5 | 26,7 | 44,0 | 30,6 | 47,2 | 32,8 | 51,2 | 35,6 | 56,7 | 39,4 |
| 360 | 6 | 22,0 | 10,2 | 27,6 | 12,8 | 31,0 | 14,4 | 35,2 | 16,3 | 40,8 | 18,9 | 46,5 | 21,5 | 49,8 | 23,1 | 54,0 | 25,0 | 59,7 | 27,6 |
| 540 | 9 | 23,8 | 7,3 | 29,7 | 9,2 | 33,1 | 10,2 | 37,5 | 11,6 | 43,4 | 13,4 | 49,3 | 15,2 | 52,7 | 16,3 | 57,0 | 17,6 | 62,9 | 19,4 |
| 720 | 12 | 25,2 | 5,8 | 31,2 | 7,2 | 34,8 | 8,1 | 39,2 | 9,1 | 45,3 | 10,5 | 51,3 | 11,9 | 54,8 | 12,7 | 59,3 | 13,7 | 65,3 | 15,1 |
| 1080 | 18 | 27,3 | 4,2 | 33,6 | 5,2 | 37,2 | 5,7 | 41,8 | 6,5 | 48,1 | 7,4 | 54,4 | 8,4 | 58,0 | 9,0 | 62,7 | 9,7 | 68,9 | 10,6 |
| 1440 | 24 | 28,9 | 3,3 | 35,3 | 4,1 | 39,1 | 4,5 | 43,8 | 5,1 | 50,2 | 5,8 | 56,7 | 6,6 | 60,4 | 7,0 | 65,2 | 7,5 | 71,6 | 8,3 |
| 2880 | 48 | 35,7 | 2,1 | 42,3 | 2,4 | 46,2 | 2,7 | 51,0 | 3,0 | 57,7 | 3,3 | 64,3 | 3,7 | 68,1 | 3,9 | 73,0 | 4,2 | 79,6 | 4,6 |
| 4320 | 72 | 40,4 | 1,6 | 47,1 | 1,8 | 51,0 | 2,0 | 56,0 | 2,2 | 62,7 | 2,4 | 69,4 | 2,7 | 73,3 | 2,8 | 78,3 | 3,0 | 85,0 | 3,3 |

Angaben in mm: Bemessungsniederschlagswerte h(n)

Angaben in l / (s ha): Regenspende R(n) mit $R(n) = h(n) \times 1,666667 / D[\text{min}]$

Toleranzbereiche:

+/- 10 % für $1 a \leq T \leq 5 a$

+/- 15 % für $5 a < T \leq 50 a$

+/- 20 % für $50 a < T \leq 100 a$

Datenbasis: KOSTRA-DWD-2010R des Deutschen Wetterdienstes. Die Regenspende wurde auf Basis des Bemessungsniederschlags zur jeweiligen Andauer berechnet.

Für die Richtigkeit und Aktualität der Angaben wird keine Gewähr übernommen. Erstellt 07/2022.

Starkniederschlagshöhen und -spenden gemäß KOSTRA-DWD-2010R

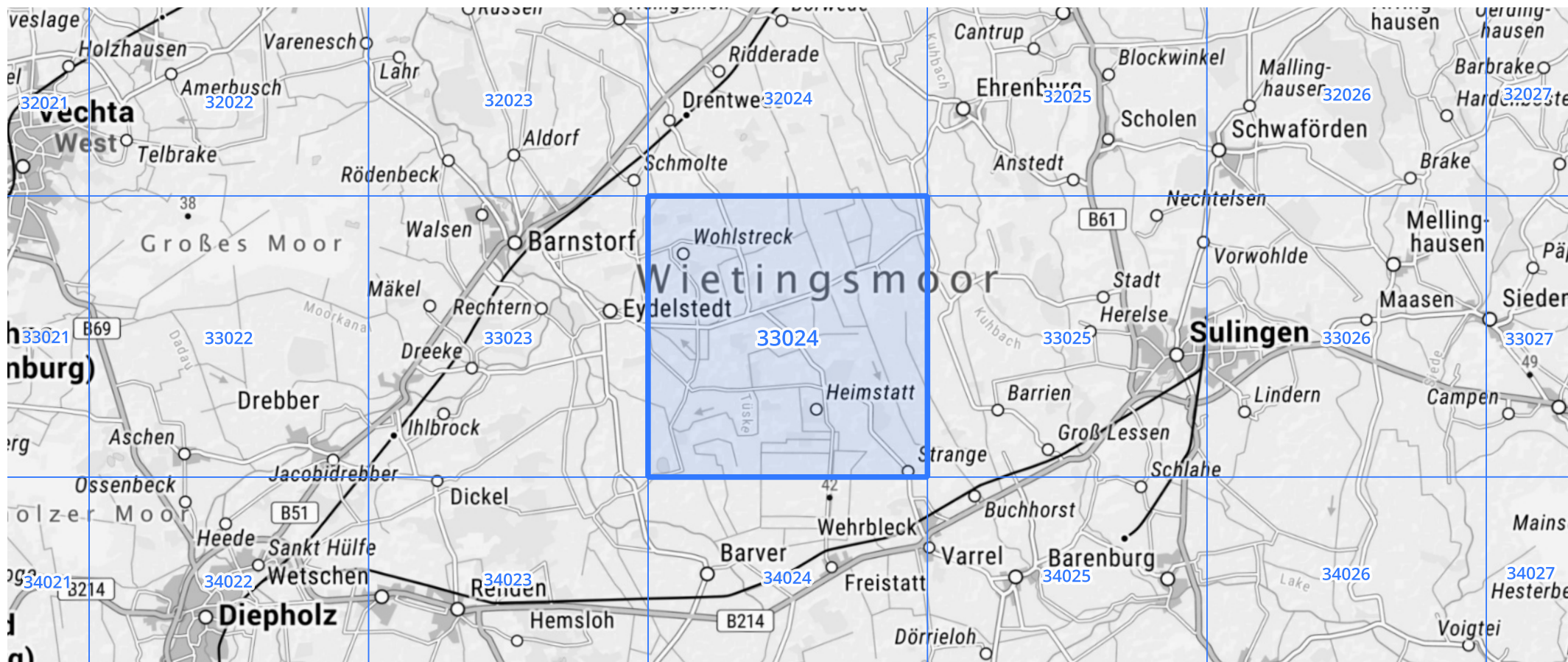
Auswertungszeitraum von 1951 - 2010, Januar - Dezember

Rasterfeld: 33024

Zeile: 33

Spalte: 24

Seite: 2/2



Quelle Rasterdaten: KOSTRA-DWD-2010R des Deutschen Wetterdienstes.

Kartendarstellung: © Bundesamt für Kartographie und Geodäsie (2022), Datenquellen: https://sgx.geodatenzentrum.de/web_public/gdz/datenquellen/Datenquellen_TopPlusOpen.html

Für die Richtigkeit und Aktualität der Angaben wird keine Gewähr übernommen. Erstellt 07/2022.